

ФЕДЕРАЛЬНОЕ АГЕНТСТВО ПО ОБРАЗОВАНИЮ
ГОСУДАРСТВЕННОЕ ВЫСШЕЕ УЧЕБНОЕ ЗАВЕДЕНИЕ
«САНКТ-ПЕТЕРБУРГСКИЙ ГОСУДАРСТВЕННЫЙ УНИВЕРСИТЕТ»

Математико–механический факультет

Специальность «математика»

Кафедра высшей алгебры и теории чисел

ДИПЛОМНАЯ РАБОТА

студента 511 группы
Воробьева Сергея Эдуардовича

ГИПЕРОКТАЭДРАЛЬНЫЕ КОМБИНАТОРНЫЕ ТИПЫ

«К защите допущен»:

Зав. кафедрой высшей алгебры
и теории чисел,
профессор, д.ф.-м.н.

_____ Яковлев А.В.

Научный руководитель,
доцент, к.ф.-м.н.

_____ Пименов К.И.

Рецензент,
профессор, д.ф.-м.н.

_____ Яковлев А.В.

г. Санкт-Петербург, 2012

Содержание

Глава I. Введение	3
1.1. Комбинаторные виды	3
1.2. Композиция комбинаторных видов	5
Глава II. Гипероктаэдральные комбинаторные виды	10
2.1. Определение	10
2.2. Вложение species в h-species	10
2.3. Сложение и умножение h-species	11
2.4. Аналитический функтор для h-species	11
2.5. Декатегорификация аналитического функтора	12
2.6. Сумма и произведение цикленных индексов	16
2.7. Цикленный индекс композиции	17
2.8. Цикленный индекс species, вложенных в h-species	19
2.9. Применение цикленного индекса к решению задач о раскрасках	20
Глава III. Заключение?	20
Список литературы	21

Глава I. Введение

1.1. Комбинаторные виды

Комбинаторные виды (*species*) были введены Жуаялем в 1980 году [1]. Они дают универсальный аппарат изучения меченных(labeled) и немеченных(unlabeled) структур, и являются развитием идеи производящих функций. О комбинаторных видах можно говорить на нескольких языках: категорном, комбинаторном и на языке теории представлений. Последний наиболее часто встречается в литературе, хотя автору он кажется наименее выразительным. Во введении изложено начало теории комбинаторных видов. Основным источником информации про комбинаторные виды является [3].

1.1.1. Определение

Рассмотрим категорию \mathcal{B} — группоид конечных множеств. Она эквивалентна группоиду, объекты которого пронумерованы неотрицательными целыми числами и $\text{Hom}(n, n) = S_n$.

Определение 1. Комбинаторным видом (species) называется функтор

$$F : \mathcal{B} \rightarrow \text{Set}$$

Задать такой функтор, это то же самое что для каждого $n \in \mathbb{N}$ задать множества $F[n]$ с действием группы S_n . В комбинаторике такая ситуация возникает, когда мы рассматриваем явно определенные каким-либо образом структуры на конечных множествах. Например: линейные порядки, циклические порядки, деревья. Действие S_n естественно возникает из перестановок исходных точек.

Пример 1. Вид \mathbf{E} — вид множество (без дополнительной структуры). Он сопоставляет набору точек одно множество, состоящие из этих точек, $\mathbf{E}[n] = \{*\}$. Все элементы S_n переходят в тождественное отображение.

Пример 2. \mathbf{C} — циклический порядок. Сопоставляет набору из n точек $(n-1)!$ возможных циклических порядков на них.

Пример 3. Линейный порядок \mathbf{L} сопоставляет $n!$ линейных порядков.

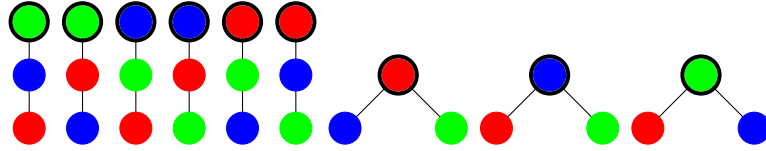


Рис. 1.1. корневые деревья с 3 вершинами

Пример 4. \mathbf{E}_e — сужение \mathbf{E} на четные множества. То есть для четных n , совпадает с \mathbf{E} , а для нечетных \emptyset . Аналогично \mathbf{E}_o — сужение на нечетные.

Пример 5. На картинке 1.1 изображен вид «корневые деревья с 3 вершинами» (без какого-либо порядка на потомках).

Можно рассмотреть функтор $I : Set \rightarrow Vec$, который сопоставляет множеству векторное пространство, базис которого это множество. Тогда $F \circ I : \mathcal{B} \rightarrow Vec$, получается для каждого n перестановочное представление группы S_n . При таком подходе, характер этого представления $\chi(\sigma)$, это количество структур, неподвижных относительно $\sigma \in S_n$.

1.1.2. Сложение комбинаторных видов

Сумму двух species F, G легко определить как поточечную сумму функторов. На комбинаторном языке это будет означать «либо структура типа F , либо структура типа G ». $(F + G)[n] = F[n] \amalg G[n]$ с покомпонентным действием S_n .

Пример 6. $\mathbb{E} = \mathbb{E}_e + \mathbb{E}_o$

Пример 7. Любой вид F можно разложить в такую сумму $F = F_1 + F_2 + F_3 + \dots$, где F_i — сужение F на $i \in \mathcal{B}$. Значение F_i на $j \neq i$ равно \emptyset .

1.1.3. Произведение комбинаторных видов

Определим произведение по Коши комбинаторных видов. По определению задать на конечном множестве структуру типа $F \cdot G$ означает разбить множество точек на две части (всевозможные) и на первом ввести структуру типа F , на втором — типа G .

$$(F \cdot G)[X] = \coprod_{X_1 \amalg X_2 = X} F[X_1] \times G[X_2]$$

С категорной точки зрения произведение по Коши возникает из тензорного произведения на категории \mathcal{B} , которое на объектах задается как $n \otimes m = (n + m)$. На морфизмах при помощи вложения $S_n \times S_m \hookrightarrow S_{n+m}$. Все такие вложения сопряжены. Известна конструкция свертки функторов из \mathcal{C} в Set , где \mathcal{C} — моноидальная категория с копроизведениями [8].

На языке теории представлений $F[n + m]$ как множество с действием группы S_{n+m} равно индуцированному представлению $Ind \uparrow_{S_n \times S_m}^{S_{n+m}} F[n] \times F[m]$.

Пример 8. $\mathbf{E} \times \mathbf{E}_1$ — множество с выделенной точкой.

Пример 9. \mathbf{C}^2 — (упорядоченная) пара циклов.

1.2. Композиция комбинаторных видов

Кроме сложения и умножения на species можно ввести операцию композиции. По определению задать на конечном множестве структуру типа $F \circ G$ означает разбить множество точек на части (всевозможные), на частях (как новых точках) ввести структуру типа F , а на каждой части — типа G . Иначе говоря, «раздуть» каждую точку структуры типа F в структуру типа G .

$$(F \circ G)[X] = \coprod_{\coprod_i X_i = X} F[\{X_i\}_i] \times \left(\prod_i G[X_i] \right)$$

Замечание 2. Определение species не предполагает конечности $F[n]$, однако цикленный индекс (см. раздел 1.2.3) можно писать только для таких видов. Класс таких species не замкнут относительно композиции. Поскольку при подстановке species F , для которого $F[0] \neq \emptyset$ можно выделить сколько угодно пустых частей. Поэтому в дальнейшем в записи $F \circ G$, мы будем неявно предполагать что внутренний операнд «сужен» на \mathbb{N}_+ .

Пример 10. $\mathbf{E}_1 \circ F = F$, $F \circ \mathbf{E}_1 = F$. \mathbf{E}_1 является нейтральным элементом в моноиде species по композиции.

Пример 11. $\mathbf{E}_2 \circ \mathbf{C}$ — (неупорядоченная) пара циклов.

Пример 12. $\mathbf{E} \circ \mathbf{E}$ — структура разбиения множества.

Пример 13. $\mathbf{E} \circ \mathbf{C} = \mathbf{S}$ — структура перестановки. Буквально перестановка — это набор циклов.

Для того, чтобы ввести композицию на категорном языке нам понадобится дополнительная конструкция: аналитический функтор.

1.2.1. Аналитический функтор комбинаторных видов

Аналитический функтор (введен Жуаялем в [2]) \mathcal{F} соответствует species F . Вводить его можно разными способами, мы ограничимся универсальным свойством и явной конструкцией.

Определение 3. Аналитический функтор является левым расширением по Кану функтора F относительно i .

$$\begin{array}{ccc} \mathcal{B} & \xrightarrow{F} & Set \\ i \downarrow & \nearrow \mathcal{F} & \\ Set & & \end{array}$$

Эта диаграмма не является коммутативной, а коммутативна лишь настолько, насколько может быть коммутативной диаграмма подобного вида. А именно, имеется естественное преобразование $\kappa: F \rightarrow i \circ \mathcal{F}$, обладающее следующим универсальным свойством: для любого функтора $M: Set \rightarrow Set$ и морфизма функторов $\eta: F \rightarrow i \circ M$ этот морфизм пропускается через \mathcal{F} при помощи κ .

$$\begin{array}{ccc} F & \xrightarrow{\kappa} & \mathcal{F} \\ & \searrow \alpha & \vdots \\ & & M \end{array}$$

Явная конструкция для аналитического функтора. Доказательство см. в [3].

$$\mathcal{F}(A) = \sum_n F[n] \times A^n / S_n \quad (1.1)$$

У аналитического функтора для типа структуры F имеется прозрачная комбинаторная интерпретация. Если трактовать множество A как набор цветов, то значение аналитического функтора $\mathcal{F}(A)$ трактуется как множество структур типа F раскрашенных в цвета из A .

1.2.2. Композиция аналитических функторов комбинаторных видов

Теорема 4. *Композиция аналитических функторов $\mathcal{F} \circ \mathcal{G}$ является аналитическим функтором для $F \circ G$.*

Доказательство. Набросок. Согласно конструкции $\mathcal{F}(\mathcal{G}(A)) = \sum_k F[k] \times (\sum_m G[m] \times A^m / S_m)^k / S_k = \sum_n \sum_{k, m_1 + \dots + m_k = n} F[k] \times (\prod_i G[m_i]) \times A^n / S_n$.

Строгое доказательство см. в <http://arxiv.org/pdf/math/9811127v1.pdf> (Lemma 2.5) [это еще и про цикленные индексы] \square

1.2.3. Цикленный индекс

Надо устроить морфизм из моноидальной категории (категории с тензорным произведением) в какую-нибудь алгебру функций. Мы вводим весовую функцию таким образом что орбита раскрашенной структуры под действием S_n имеет один и тот же вес. После этого можно задать вопрос о коэффициенте при мономе соответствующего веса. Это будет число орбит с заданной весовой функцией. По Лемме Бернсайда это то же самое, что и усредненное число неподвижных точек по всем элементам группы. Чтобы раскрашенная структура была неподвижна под действием перестановки σ нужно, чтобы во-первых она была неподвижна как нераскрашенная структура, а во-вторых раскраска должна переходить в себя. В качестве весовой функции выбираем моном возникающий в произведении переменных отвечающим цветам. Цвета это x_1, x_2, x_3, \dots . Например, раскраске в которой 2 первых цвета и 1 второй соответствует моном $x_1^2 x_2$. Тогда первое условие дает нам сомножитель $\chi(\sigma)$, где характер это характер соответствующего перестановочного представления. Второе условие требует покраски каждого цикла в один и тот же цвет. Итоговая формула называется фробениусовой характеристикой или цикленным индексом. Она считает количество неподвижных раскрашенных структур в среднем.

Утверждение 5.

$$\mathcal{Z}_F = \sum_n \frac{1}{n!} \sum_{\sigma \in S_n} \chi(\sigma) \psi^{\lambda(\sigma)} = \sum_{n, \lambda \vdash n} \chi(\sigma_\lambda) \frac{\psi^\lambda}{z_\lambda} \quad (1.2)$$

Где χ — характер (перестановочного) представления заданного F , σ —

перестановка цикленного типа λ , $\psi^\lambda = (x_1^{\lambda_1} + x_2^{\lambda_1} + x_3^{\lambda_1} + \dots)(x_1^{\lambda_2} + x_2^{\lambda_2} + x_3^{\lambda_2} + \dots)(x_1^{\lambda_3} + x_2^{\lambda_3} + x_3^{\lambda_3} + \dots) \dots$, z_λ — индекс класса сопряженности σ .

Пример 14. $\mathcal{Z}_{\mathbb{E}} = e^{(\psi^1 + \frac{\psi^2}{2} + \frac{\psi^3}{3} + \dots)}$. Доказательство смотри в [3].

1.2.4. Плетизм цикленных индексов

Теорема 6. *Композиции аналитически функторов соответствует плетизм цикленных индексов.*

Чудесный факт заключается в том, что в декатегорификации композиция соответствует простой формуле подстановки. Сейчас мы ее напишем и приведем набросок доказательства. В качестве множества цветов A рассмотрим счетный набор цветов x_1, x_2, x_3, \dots . Цикленный индекс запишем относительно базиса кольца симметрических функций $\psi^1, \psi^2, \psi^3, \dots$.

$$\mathcal{Z}_{F \circ G}(\psi^1, \psi^2, \psi^3, \dots) = \mathcal{Z}_F(\mathcal{Z}_G(\psi^1, \psi^2, \psi^3, \dots), \mathcal{Z}_G(\psi^2, \psi^4, \psi^6, \dots), \mathcal{Z}_G(\psi^3, \psi^6, \psi^9, \dots), \dots) \quad (1.3)$$

В композиции двух аналитических функторов получается, что цвета в которые мы красим структуру F это структуры типа G . То есть $\mathcal{Z}_{F \circ G} = \mathcal{Z}_F(\psi_g^1, \psi_g^2, \psi_g^3, \dots)$, где $\psi_g^i = (g_1^i + g_2^i + g_3^i + \dots)$, где g_i — перечисление всех структур типа G . Нужно раскрыть переменные g_i — написать их относительно начальных цветов. Формулу $\psi_g^i = \mathcal{Z}_G(\psi^i, \psi^{2i}, \psi^{3i}, \dots)$ легко понять в переменных x_1, x_2, x_3, \dots . Мы должны покрасить i кусков в одну и ту же G -структуру. Значит каждый цвет x_j заменяется на x_j^i .

Замечание 7. Формулу 1.3 можно специализировать для подсчета labeled-структур. То есть покрашенных структур у которых нет двух одинаковых цветов в раскраске. Соответствующие мономы (в базисе x_1, x_2, x_3, \dots) возникают только при раскрытии мономов вида $c(\psi^1)^k$ и коэффициент в них равен $ck!$ — такой же как при мономе с точностью до факториала. Этот факториал приводит к необходимости рассматривать экспоненциальные производящие функции вместо обычных. Можно занулить все остальные мономы подстановкой $\psi^1 = t, \psi^2 = 0, \psi^3 = 0, \psi^4 = 0$. Формула 1.3 примет вид $\mathcal{Z}_{F \circ G}(t, 0, 0, \dots) = \mathcal{Z}_F(\mathcal{Z}_G(t, 0, 0, \dots), 0, 0, \dots)$. А значит для экспоненциаль-

ных производящих функции labeled-структур справедливо равенство

$$(f \circ g)(t) = f(g(t)) \quad (1.4)$$

Пример 15. (Экспоненциальная) производящая функция для **E** это $e^x = 1 + x + \frac{1}{2!}x^2 + \frac{1}{3!}x^3 + \dots$. А производящая функция для непустых циклов **C** это $-\log(1 - x) = x + \frac{1}{2}x^2 + \frac{1}{3}x^3 + \dots$. А для **S** производящая функция это $\frac{1}{1-x} = 1 + x + x^2 + x^3 + \dots$. И действительно $e^{(-\log(1-x))} = \frac{1}{1-x}$.

Глава II. Гипероктаэдральные комбинаторные виды

2.1. Определение

Рассмотрим категорию $HSet$. В ней объекты это множества, снабженные дополнительным действием — инволюцией. А стрелки, это морфизмы, сохраняющие инволюцию. Рассмотрим категорию $H\mathcal{B}$ — подкатегорию конечных множеств из $HSet$ с морфизмами только биекциями, и инволюциями без неподвижных точек. Функтор $F : H\mathcal{B} \rightarrow HSet$ — гипероктаэдральный (или кубический) это комбинаторный вид. Мы будем так же для краткости употреблять термин $h\text{-species}$. Gruppoид $H\mathcal{B}$ эквивалентен группоиду, объекты которого $\bar{n} = \{-n, -n+1, \dots, -1, 1, 2, \dots, n-1, n\}$, инволюция - смена знака. Эпитет гипероктаэдральный используется потому, что на $H\mathcal{B}[\bar{n}]$ действует гипероктаэдральная группа B_n — группа движений n -мерного куба (иногда будем обозначать ее H_n). Некоторая не очень ясная комбинаторная интерпретация: множеству граней куба сопоставляется множество структур на этих гранях, а действие B_n возникает из перестановок граней.

Пример 16. Вид \mathbb{H} — структура куб. Он сопоставляет \bar{n} одно множество. Все элементы B_n переходят в тождественное отображение.

Пример 17. \circ — неразличимая пара граней (\mathbb{H}_1). \bullet — различимая пара граней. Оба они принимают значение \emptyset на всем, кроме $\bar{1}$. Второе соответствует действию H_1 на 2-х точечном множестве.

Пример 18. Аналогично \square — структура куб размерности 2 (\mathbb{H}_2). \square — куб размерности 2 с различимыми противоположными гранями. Второе соответствует действию H_2 на 4-х точечном множестве.

Пример 19. Структура $\bullet \times \bullet$. Это не то же самое что \square , поскольку это «упорядоченная пара \bullet ».

2.2. Вложение species в h-species

Обычные комбинаторные виды можно «вложить» в гипероктаэдральные. Иными словами можно каждый species рассмотреть как $h\text{-species}$. Для этого

достаточно рассматривать структуру не на точках, а на парах (неразличимых) граней. Если $F : \mathcal{B} \rightarrow Set$, то $\tilde{F} : H\mathcal{B} \rightarrow HSet$, где $\tilde{F}[\bar{n}] = F[n]$ как множество, а инволюция тождественна.

2.3. Сложение и умножение h-species

Сложение и умножение определяются полностью аналогично species и тут проблем не возникает. Они введены в работе [4].

Замечание 8. При работе со species, мы имели мощную комбинаторную интуицию, которая мотивировала категорные конструкции. В случае h-species мы переносим категорные конструкции species на новый контекст и пытаемся дать комбинаторную интерпретацию получившимся результатам.

2.4. Аналитический функтор для h-species

Хочется построить аналог аналитического функтора для h-species

$$\begin{array}{ccc} H\mathcal{B} & \xrightarrow{F} & HSet \\ \downarrow i & \nearrow \mathcal{F} & \\ HSet & & \end{array}$$

$$\mathcal{F} = \sum_n F[\bar{n}] \times A^{\bar{n}} / B_n \quad (2.1)$$

Здесь $A^{\bar{n}}$ это отображения, сохраняющие инволюцию. Таким образом на $F[\bar{n}] \times A^{\bar{n}}$ действует группа $B_n \times \mathbb{Z}_2$, второй сомножитель соответствует инволюции на цветах. После факторизации по B_n , мы получаем $HSet$, множество с инволюцией.

TODO:Здесь нужно добавить проверку универсальности картинки.

Определение 9. Будем называть элементы $(F[\bar{n}] \times A^{\bar{n}})$ A -крашенными F структурами на гранях n -мерного куба. Таким образом правую часть 2.1 можно интерпретировать как всевозможные классы эквивалентности крашеных структур.

2.5. Декатегорификация аналитического функтора

Можно действовать наивно: написать производящую функцию для числа раскрасок, по аналогии с классическим случаем. Такая формула (2.2) рассматривалась (в контексте теории представлений группы $S_n \wr G$) в работе <http://www.combinatorics.org/ojs/index.php/eljc/article/download/v11i1r56/pdf> (см. также приложение В во втором английском издании книги Макдональда [7]). При таком подходе определяются операции сложения и умножения по Коши для цикленных индексов. Но попытки определить гипероктаэдральный плетизм оказываются безуспешны. Выяснилось, что правильный аналог цикленного индекса должен помнить информацию о следующем свойстве раскрашенной структуры.

Отметим, что раскраска (элемент $A^{\bar{n}}$), это отображение, сохраняющее инволюцию. Значит пара элементов $(-i, i)$ отображается либо в один и тот же элемент (a, a) (который инволюцией переводится в себя), либо в пару элементов (b, \bar{b}) , сопряженных инволюцией. Будем называть первый случай *моноцветом*, второй — *бицветом*.

Покрашенные структуры сами по себе можно рассматривать как моноцвет, либо бицвет. Это по-прежнему определяется длиной орбиты инволюции на A , уже после факторизации по B_n . То есть кроме действия B_n есть еще внешняя инволюция — действие Z_2 . Будем разделять раскрашенные структуры на *моноструктуры* и *биструктуры*.

Цикленный индекс, считающий только моноструктуры будем обозначать $\mathcal{Z}^{(1)}$, биструктуры — $\mathcal{Z}^{(2)}$.

Замечание 10. Таким образом, цикленный индекс для h -species представляет собой пару $(\mathcal{Z}^{(1)}, \mathcal{Z}^{(2)})$.

Утверждение 11. *Количество орбит под действием $H_n \times \mathbb{Z}_2$ соответствует $\mathcal{Z}^{(1)} + \mathcal{Z}^{(2)}$, а под действием только H_n соответствует $\mathcal{Z}^{(1)} + 2\mathcal{Z}^{(2)}$.*

Доказательство. В первом случае каждая моноструктура и биструктура будет посчитана 1 раз. А во втором каждая биструктура будет посчитана два раза, т.к. действие инволюции «склеивающей» две части биструктуры не учтено. □

2.5.1. Подсчет цикленного индекса

В качестве H -множества цветов возьмем счетное множество моноцветов x_1, x_2, x_3, \dots объединенное с счетным множеством бицветов y_1, y_2, y_3, \dots .

Допустим, что мы придумали весовую функцию, отправляющую каждую раскрашенную структуру в моном и любая орбита отправляется в один моном. Применяв Лемму Бернсайда переходим к подсчету неподвижных точек. Циклы в каждом элементе H_n бывают двух типов: *длинные* — каждая грань входит в цикл вместе со своей противоположной гранью и *короткие* — пара граней лежит в симметричных, различных циклах.

Посчитаем количество неподвижных точек для H_n . Пусть λ^1 — цикленный тип коротких перестановок, λ^2 — цикленный тип длинных перестановок.

Утверждение 12. *Неподвижные раскрашенные структуры, это в точности те, у которых длинный цикл покрашен в моноцвету, а пара симметричных коротких может быть покрашена либо в моноцвет, либо в бицвет.*

Под покрашенным циклом мы подразумеваем покраску всех его элементов в этот цвет (такая покрашенная структура будет неподвижна относительно действия этого элемента H_n).

Утверждение 13. *Справедлива формула:*

$$\begin{aligned} Z_F^{(1)} + 2Z_F^{(2)} &= \sum_n \frac{1}{2^n n!} \sum_{\sigma \in B_n} \chi(\sigma) \psi_{x,y,y}^{\lambda^1(\sigma)} \psi_x^{\lambda^2(\sigma)} = \\ &= \sum_{n, \lambda^1 + \lambda^2 \vdash n} \chi(\sigma_{\lambda^1 \lambda^2}) \frac{\psi_{x,y,y}^{\lambda^1} \psi_x^{\lambda^2}}{z_{\lambda^1 \lambda^2}} \end{aligned} \quad (2.2)$$

Здесь нижний индекс ψ означает переменные по которым берется степенная сумма. Например $\psi_{x,y,y}^2 = (x_1^2 + x_2^2 + x_3^2 + \dots + y_1^2 + y_2^2 + y_3^2 + \dots + y_1^2 + y_2^2 + y_3^2 + \dots)$. При этом коэффициент 2 у y_i^2 отражает тот факт, что можно раскрасить k пар граней в бицвет, так чтобы раскраска была неподвижна, под действием короткого цикла, 2-мя способами.

Посчитаем количество неподвижных точек для $H_n \times Z_2$. Разобьем сумму на две части — $(h, \bar{0})$ и $(h, \bar{1})$. Для первой формула будет аналогична 2.2, только из-за того что порядок группы в 2 раза больше, появится коэффициент $\frac{1}{2}$. Во второй части по-прежнему можно красить и длинные и короткие

циклы в моноцвет. А вот с бицветом происходит любопытная вещь — предположим мы красим в него цикл (пару циклов, в случае короткого). Тогда реальный цикл от $(h, \bar{1})$ будет получаться из циклов h добавлением «смены грани» на каждом шаге. Значит для циклов нечетной длины сменится свойство короткий–длинный.

Пример 20. Пусть $h_e = \bullet \leftrightarrow \bullet$. Тогда $(h_e, \bar{1}) = \bullet \begin{array}{c} \nearrow \searrow \\ \nwarrow \nearrow \end{array} \bullet$

Пример 21. Пусть $h_o = \bullet \rightarrow \bullet \rightarrow \bullet$. Тогда $(h_o, \bar{1}) = \bullet \begin{array}{c} \nearrow \searrow \nearrow \searrow \\ \nwarrow \nearrow \nwarrow \nearrow \end{array} \bullet$

Утверждение 14. Справедлива формула:

$$\begin{aligned} \mathcal{Z}_F^{(1)} + \mathcal{Z}_F^{(2)} = & \frac{1}{2} \sum_{n, \lambda^1 + \lambda^2 \vdash n} \chi(\sigma_{\lambda^1 \lambda^2}) \frac{\psi_{x,y,y}^{\lambda^1} \psi_x^{\lambda^2}}{z_{\lambda^1 \lambda^2}} + \\ & \frac{1}{2} \sum_{n, \lambda_o^1 + \lambda_o^2 + \lambda_e^1 + \lambda_e^2 \vdash n} \chi(\sigma_{\lambda_o^1 \lambda_o^2 \lambda_e^1 \lambda_e^2}) \frac{\psi_{x,y,y}^{\lambda_e^1 + \lambda_o^2} \psi_x^{\lambda_e^2 + \lambda_o^1}}{z_{\lambda_o^1 \lambda_o^2 \lambda_e^1 \lambda_e^2}} \end{aligned} \quad (2.3)$$

Где λ_o — циклы нечетной длины, λ_e — циклы четной длины.

Из формул 2.2, 2.3 легко получить

$$\mathcal{Z}_F^{(1)} = \sum_{n, \lambda_o^1 + \lambda_o^2 + \lambda_e^1 + \lambda_e^2 \vdash n} \chi(\sigma_{\lambda_o^1 \lambda_o^2 \lambda_e^1 \lambda_e^2}) \frac{\psi_{x,y,y}^{\lambda_e^1 + \lambda_o^2} \psi_x^{\lambda_e^2 + \lambda_o^1}}{z_{\lambda_o^1 \lambda_o^2 \lambda_e^1 \lambda_e^2}} \quad (2.4)$$

$$\begin{aligned} \mathcal{Z}_F^{(2)} = & \frac{1}{2} \sum_{n, \lambda^1 + \lambda^2 \vdash n} \chi(\sigma_{\lambda^1 \lambda^2}) \frac{\psi_{x,y,y}^{\lambda^1} \psi_x^{\lambda^2}}{z_{\lambda^1 \lambda^2}} - \\ & \frac{1}{2} \sum_{n, \lambda_o^1 + \lambda_o^2 + \lambda_e^1 + \lambda_e^2 \vdash n} \chi(\sigma_{\lambda_o^1 \lambda_o^2 \lambda_e^1 \lambda_e^2}) \frac{\psi_{x,y,y}^{\lambda_e^1 + \lambda_o^2} \psi_x^{\lambda_e^2 + \lambda_o^1}}{z_{\lambda_o^1 \lambda_o^2 \lambda_e^1 \lambda_e^2}} \end{aligned} \quad (2.5)$$

2.5.2. Примеры вычисления цикленного индекса

Посчитаем цикленные индексы для простых h -species. Здесь мы будем писать $Z(A)$ вместо Z_A . Это не должно вызывать путаницу, поскольку вместо A будут использоваться схематические картинки. Их никак не перепутать с переменными, от которых считается цикленный индекс.

Пример 22.

$$[\mathcal{Z}^{(1)} + 2\mathcal{Z}^{(2)}](\circ) = \frac{1}{2}(\psi_{x,y,y}^1 + \psi_x^1) = \psi_{x,y}^1$$

$$\mathcal{Z}^{(1)}(\circ) = \frac{1}{2}(\psi_x^1 + \psi_{x,y,y}^1) = \psi_{x,y}^1$$

Значит

$$\mathcal{Z}^{(2)}(\circ) = 0$$

Пример 23.

$$[\mathcal{Z}^{(1)} + 2\mathcal{Z}^{(2)}](\bullet) = \frac{1}{2}(2\psi_{x,y,y}^1 + 0\psi_x^1) = \psi_{x,y,y}^1$$

$$\mathcal{Z}^{(1)}(\bullet) = \frac{1}{2}(2\psi_x^1 + 0\psi_{x,y,y}^1) = \psi_x^1$$

Значит

$$\mathcal{Z}^{(2)}(\bullet) = \psi_y^1$$

Пример 24.

$$[\mathcal{Z}^{(1)} + 2\mathcal{Z}^{(2)}](\square) = \frac{1}{8}((\psi_{x,y,y}^1)^2 + (\psi_x^1)^2 + 2\psi_x^2 + 2(\psi_x^1\psi_{x,y,y}^1) + 2\psi_{x,y,y}^2)$$

Здесь коэффициенты — не характеры (характер при каждом слагаемом = 1).

$$\mathcal{Z}^{(1)}(\square) = \frac{1}{8}((\psi_x^1)^2 + (\psi_{x,y,y}^1)^2 + 2\psi_{x,y,y}^2 + 2(\psi_{x,y,y}^1\psi_x^1) + 2\psi_x^2) = [\mathcal{Z}^{(1)} + 2\mathcal{Z}^{(2)}](\square)$$

Последнее следовало и из общих соображений: легко видеть что $\mathcal{Z}^{(2)}(\square) = 0$.

Пример 25.

$$[\mathcal{Z}^{(1)} + 2\mathcal{Z}^{(2)}](\square) = \frac{1}{8}(4(\psi_{x,y,y}^1)^2 + 0(\psi_x^1)^2 + 0\psi_x^2 + 0(\psi_x^1\psi_{x,y,y}^1) + 2 \times 2\psi_{x,y,y}^2)$$

$$\mathcal{Z}^{(1)}(\square) = \frac{1}{8}(4(\psi_x^1)^2 + 2 \times 2\psi_{x,y,y}^2)$$

Откуда

$$\mathcal{Z}^{(2)}(\square) = \frac{1}{2}([\mathcal{Z}^{(1)} + 2\mathcal{Z}^{(2)}](\square) - \mathcal{Z}^{(1)}(\square)) = \frac{1}{2}(\psi_{y,y}^1\psi_x^1 + \frac{1}{2}(\psi_{y,y}^1)^2) = \psi_y^1\psi_x^1 + (\psi_y^1)^2$$

2.6. Сумма и произведение цикленных индексов

2.6.1. Сумма

Сумма цикленных индексов соответствует поточечной сумме аналитических функторов и здесь нет никаких сюрпризов:

$$\mathcal{Z}_{A+B}^{(1)} = \mathcal{Z}_A^{(1)} + \mathcal{Z}_B^{(1)}$$

$$\mathcal{Z}_{A+B}^{(2)} = \mathcal{Z}_A^{(2)} + \mathcal{Z}_B^{(2)}$$

2.6.2. Произведение

Для произведения уже не совсем так.

Утверждение 15. *Моноструктура получается в произведении двух моноструктур. А биструктура получается, если один из сомножителей биструктура. Причем в случае, когда оба сомножителя — биструктуры, получается две различных биструктуры.*

То есть

$$\begin{aligned}\mathcal{Z}_{A*B}^{(1)} &= \mathcal{Z}_A^{(1)} * \mathcal{Z}_B^{(1)} \\ \mathcal{Z}_{A*B}^{(2)} &= \mathcal{Z}_A^{(1)} * \mathcal{Z}_B^{(2)} + \mathcal{Z}_A^{(2)} * \mathcal{Z}_B^{(1)} + 2(\mathcal{Z}_A^{(2)} * \mathcal{Z}_B^{(2)})\end{aligned}$$

Откуда следует

$$(\mathcal{Z}_{A*B}^{(1)} + 2\mathcal{Z}_{A*B}^{(2)}) = (\mathcal{Z}_A^{(1)} + 2\mathcal{Z}_A^{(2)}) * (\mathcal{Z}_B^{(1)} + 2\mathcal{Z}_B^{(2)})$$

Замечание 16. Это логично, поскольку $(\mathcal{Z}_F^{(1)} + 2\mathcal{Z}_F^{(2)})$ — это цикленный индекс для цветов, с «забытой» инволюцией.

2.6.3. Примеры цикленных индексов произведений

Посчитаем произведение уже известных h-структур и их цикленных индексов.

Пример 26. Структура $\circ \times \circ$.

$$\mathcal{Z}^{(1)}(\circ \times \circ) = \mathcal{Z}^{(1)}(\circ) \times \mathcal{Z}^{(1)}(\circ) = (\psi_{x,y}^1)^2$$

Пример 27. Структура $\mathfrak{g} \times \mathfrak{g}$.

$$[\mathcal{Z}^{(1)} + 2\mathcal{Z}^{(2)}](\mathfrak{g} \times \mathfrak{g}) = [\mathcal{Z}^{(1)} + 2\mathcal{Z}^{(2)}](\mathfrak{g}) \times [\mathcal{Z}^{(1)} + 2\mathcal{Z}^{(2)}](\mathfrak{g}) = (\psi_{x,y,y}^1)^2$$

Легко получить эту же формулу и прямым подсчетом по формуле 2.2, как $\frac{1}{8}(8(\psi_{x,y,y}^1)^2)$.

$$\mathcal{Z}^{(1)}(\mathfrak{g} \times \mathfrak{g}) = \mathcal{Z}^{(1)}(\mathfrak{g}) \times \mathcal{Z}^{(1)}(\mathfrak{g}) = (\psi_x^1)^2$$

2.7. Цикленный индекс композиции

Теперь попробуем выстроить теорию композиции цикленного индекса для h -species, параллельно теории species. В качестве моноцветов возьмем $\{x_1, x_2, x_3, \dots\}$, бицветов — $\{y_1, y_2, y_3, \dots\}$. Формулы 2.2 и 2.3 подсказывают, что на практике в качестве симметричного базиса можно брать не $\{\psi_x^i, \psi_y^j\}$ а $\{\psi_x^i, \psi_{x,y,y}^j\}$. Или другую линейную комбинацию, например $\{\psi_x^i, \psi_{x,y}^j\}$.

Задача 1. Как выразить

$$\mathcal{Z}_{F \circ G}^{(i)}(\psi_x^1, \psi_x^2, \psi_x^3, \dots, \psi_y^1, \psi_y^2, \psi_y^3, \dots)$$

Теорема 17.

$$\begin{aligned} \mathcal{Z}_{F \circ G}^{(i)}(\psi_x^1, \psi_x^2, \psi_x^3, \dots, \psi_y^1, \psi_y^2, \psi_y^3, \dots) = & \\ & \mathcal{Z}_F^{(i)}(\mathcal{Z}_G^{(1)}(\psi_x^1, \psi_x^2, \psi_x^3, \dots, \psi_y^1, \psi_y^2, \psi_y^3, \dots), \\ & \mathcal{Z}_G^{(1)}(\psi_x^2, \psi_x^4, \psi_x^6, \dots, \psi_y^2, \psi_y^4, \psi_y^6, \dots), \\ & \mathcal{Z}_G^{(1)}(\psi_x^3, \psi_x^6, \psi_x^9, \dots, \psi_y^3, \psi_y^6, \psi_y^9, \dots), \\ & \dots, \\ & \mathcal{Z}_G^{(2)}(\psi_x^1, \psi_x^2, \psi_x^3, \dots, \psi_y^1, \psi_y^2, \psi_y^3, \dots), \\ & \mathcal{Z}_G^{(2)}(\psi_x^2, \psi_x^4, \psi_x^6, \dots, \psi_y^2, \psi_y^4, \psi_y^6, \dots), \\ & \mathcal{Z}_G^{(2)}(\psi_x^3, \psi_x^6, \psi_x^9, \dots, \psi_y^3, \psi_y^6, \psi_y^9, \dots), \\ & \dots) \end{aligned} \tag{2.6}$$

Эта формула слишком громоздкая, поэтому напомним ее на уровне членов:

$$\psi_x^i \circ (\mathcal{Z}_G^{(1)}, \mathcal{Z}_G^{(2)}) = \mathcal{Z}_G^{(1)}(\psi_x^i, \psi_x^{2i}, \psi_x^{3i}, \dots, \psi_y^i, \psi_y^{2i}, \psi_y^{3i}, \dots)$$

$$\psi_y^i \circ (\mathcal{Z}_G^{(1)}, \mathcal{Z}_G^{(2)}) = \mathcal{Z}_G^{(2)}(\psi_x^i, \psi_x^{2i}, \psi_x^{3i}, \dots, \psi_y^i, \psi_y^{2i}, \psi_y^{3i}, \dots)$$

Биструктуры подставляются вместо бицветов, моноструктуры, вместо моноцветов. В остальном рассуждение дословно повторяет случай обычных species.

Замечание 18. Если сделать в 2.6 подстановку

$$\psi_x^1 = t, \psi_x^k = 0, k > 1$$

$$\psi_y^1 = s, \psi_y^k = 0, k > 1$$

То получится формула

$$\tilde{\mathcal{Z}}_{F \circ G}^{(i)}(t, s) = \tilde{\mathcal{Z}}_F^{(i)}(\tilde{\mathcal{Z}}_G^{(1)}(t, s), \tilde{\mathcal{Z}}_G^{(2)}(t, s))$$

Таким образом аналог 1.4 справедлив для экспоненциальных производящих функций bilabeled-структур.

2.7.1. Примеры цикленного индекса композиции

Пример 28. Посчитаем $(\mathcal{Z}^{(1)}, \mathcal{Z}^{(2)})(\bullet \circ \circ)$

$$\mathcal{Z}^{(1)}(\bullet \circ \circ) = \psi_x^1 \circ \psi_{x,y}^1 = \psi_{x,y}^1 = \mathcal{Z}^{(1)}(\circ)$$

$$\mathcal{Z}^{(2)}(\bullet \circ \circ) = \psi_y^1 \circ 0 = 0 = \mathcal{Z}^{(2)}(\circ)$$

Пример 29. Да и вообще, справедливо

$$\mathcal{Z}^{(i)}(\bullet \circ A) = \mathcal{Z}^{(i)}(A)$$

$$\mathcal{Z}^{(i)}(A \circ \bullet) = \mathcal{Z}^{(i)}(A)$$

Замечание 19. Это дает некоторое понимание композиции. Так видимо $A \circ \circ = \circ \circ A = A$. То есть \circ является нейтральным элементом в моноиде h -species по композиции. Это несколько контр-интуитивно, поскольку в обычных species нейтральным элементом является одноточечное множество. А его образом при вложении species в h -species является \circ .

Пример 30. Интересно посмотреть на композицию с \circ

$$[\mathcal{Z}^{(1)} + 2\mathcal{Z}^{(2)}](\square \circ \circ) = \frac{1}{2}(\frac{1}{2}(\psi_{x,y,y}^1 + \psi_x^1))^2 + \frac{1}{2}(\frac{1}{2}(\psi_{x,y,y}^2 + \psi_x^2)) = \frac{1}{8}((\psi_x^1)^2 + (\psi_{x,y,y}^1)^2 + 2\psi_{x,y,y}^2 + 2(\psi_{x,y,y}^1 \psi_x^1) + 2\psi_x^2) = [\mathcal{Z}^{(1)} + 2\mathcal{Z}^{(2)}](\square) \quad (2.7)$$

Замечание 20. Отсюда можно сделать предположение, что $\square \circ \circ = \square$. То есть подстановка \circ — это «стирание различий между противоположными гранями».

Пример 31. Посчитаем для структуры V «вершина куба».

$$[\mathcal{Z}^{(1)} + 2\mathcal{Z}^{(2)}](V) = e^{\psi_{x,y,y}^1 + \frac{\psi_{x,y,y}^2}{2!} + \frac{\psi_{x,y,y}^3}{3!} + \dots}$$

$$\mathcal{Z}^{(1)}(V) = e^{(\psi_x^1 + \frac{\psi_x^2}{2!} + \frac{\psi_x^3}{3!} + \dots) + (\psi_y^2 + \frac{\psi_y^4}{2!} + \frac{\psi_y^6}{3!} + \dots)}$$

Для структуры H «куб».

$$[\mathcal{Z}^{(1)} + 2\mathcal{Z}^{(2)}](H) = \mathcal{Z}^{(1)}(H) = e^{\psi_{x,y}^1 + \frac{\psi_{x,y}^2}{2!} + \frac{\psi_{x,y}^3}{3!} + \dots}$$

Нетрудно убедиться что $\mathcal{Z}^{(i)}(V \circ \circ) = \mathcal{Z}^{(i)}(H)$.

2.8. Цикленный индекс species, вложенных в h -species

Утверждение 21. Пусть G — обычный species, вложенный в h -species. \mathcal{Z}_G — его цикленный индекс.

$$(\mathcal{Z}_G^{(1)}, \mathcal{Z}_G^{(2)})(\psi_x^1, \psi_x^2, \psi_x^3, \dots, \psi_{x,y,y}^1, \psi_{x,y,y}^2, \psi_{x,y,y}^3, \dots) = (\mathcal{Z}_G(\psi_{x,y}^1, \psi_{x,y}^2, \psi_{x,y}^3, \dots), 0)$$

2.9. Применение цикленного индекса к решению задач о раскрасках

Задача 2. Посчитать количество способов покрасить n -мерный куб в k цветов с точностью до изометрий. Иными словами, посчитать количество орбит при действии B_n на множестве всевозможно раскрашенных кубов. <http://math.stackexchange.com/questions/5697/coloring-the-faces-of-a-hypercube>.

Решение. В нашей нотации это вопрос о количестве раскрасок пар граней в k моноцветов и $\frac{k(k-1)}{2}$ бицветов. Поскольку любая раскраска даст нам моноструктуру, то производящая функция для количества раскрасок от размерности, будет равна $\mathcal{Z}_{\mathbb{H}}^{(1)}(kt, kt^2, kt^3, \dots, k^2t, k^2t^2, k^2t^3, \dots) = \exp(kt + kt^2 + kt^3 + \dots + \frac{k(k-1)}{2}t + \frac{k(k-1)}{2}t^2 + \frac{k(k-1)}{2}t^3 + \dots) = \exp(\frac{k(k+1)}{2}t + \frac{k(k+1)}{2}t^2 + \frac{k(k+1)}{2}t^3 + \dots) = (\exp(\log(\frac{1}{1-t})))^{\frac{k(k+1)}{2}} = \frac{1}{1-t}^{\frac{k(k+1)}{2}} = \square$

Глава III. Заключение?

Список литературы

1. André Joyal, *Une théorie combinatoire des séries formelles*, Adv. Math 42 (1981), 1–82.
2. André Joyal, *Foncteurs analytiques et espèces des structures*, in Combinatoire Énumérative, Lecture Notes in Mathematics 1234, Springer, Berlin, (1986), pp. 126–159
3. F. Bergeron, Gilbert Labelle, Pierre LeRoux *Combinatorial Species and Tree-Like Structures*, Cambridge University Press, (1998)
4. N. Bergeron; P. Choquette. *Hyperoctahedral species*, Sémin. Lothar. Combin. 61A (2009/10), доступно на <http://arxiv.org/abs/0810.4089>
5. Heteyi, Gábor; Labelle, Gilbert; Leroux, Pierre *Cubical species and nonassociative algebras* Adv. in Appl. Math. (1998), no. 3
6. I. G. Macdonald. *Polynomial functors and wreath products*, J. Pure Appl. Algebra, 18(2):173–204, 1980.
7. I. G. Macdonald. *Symmetric functions and Hall polynomials*, Oxford Mathematical Monographs. The Clarendon Press Oxford University Press, New York, second edition, 1995.
8. <http://nlab.mathforge.org/nlab/show/Day+convolution>
9. Н. В. Дуров. *Классифицирующие вектоиды и классы операд*, Санкт-Петербургское отделение Математического института им. В. А. Стеклова РАН, Санкт-Петербург, Россия 2009, доступно (английский) на <http://arxiv.org/abs/1105.3114>